

УДК 621.315.592

## О МЕХАНИЗМЕ ПОДАВЛЕНИЯ ГЕНЕРАЦИИ ТЕРМОДОНРОВ В КРЕМНИИ ПРИМЕСНЫМИ АТОМАМИ УГЛЕРОДА

Л. И. Мурин, В. П. Маркевич

Институт физики твердого тела и полупроводников Академии наук Беларусь,  
220726, Минск, Беларусь

(Получена 21.04.1992. Принята к печати 27.05.1992)

Исследована начальная кинетика образования термодоноров (ТД) в кристаллах  $\text{Si(O)}$  и  $\text{Si(O, C)}$ , ( $N_{\text{O}} = 8 \cdot 10^{17}$ ,  $N_{\text{C}} = 2.5 \cdot 10^{17} \text{ см}^{-3}$ ) при  $T = 375^\circ\text{C}$ . Установлено, что присутствие примесных атомов углерода не оказывает существенного влияния как на концентрацию подвижных частиц, последовательно формирующих серию двухзарядных ТД, так и на константы скоростей прямых реакций для первых типов ТД. Снижение начальной скорости генерации ТД в кристаллах  $\text{Si(O, C)}$  обусловлено главным образом уменьшением стационарной концентрации центров зарождения ТД вследствие возрастания констант скоростей их диссоциации и (или) трансформации в другие электрически неактивные центры.

**Введение.** Снижение эффективности генерации термодоноров (ТД) в кристаллах  $\text{Si(O)}$ , легированных углеродом, является хорошо известным фактом [1–8]. Этот эффект становится заметным при концентрации углерода  $N_{\text{C}} \sim 5 \cdot 10^{16} \text{ см}^{-3}$ , а при  $N_{\text{C}} \geq 5 \cdot 10^{17} \text{ см}^{-3}$  образования ТД практически не происходит. В литературе высказывались различные предположения о механизме влияния примесных атомов С на процесс генерации ТД. Авторы [9–11] полагают, что в генерации ТД участвуют собственные межузельные атомы кремния ( $I_{\text{Si}}$ ). Поскольку углерод замещения ( $C_s$ ) является эффективной ловушкой для  $I_{\text{Si}}$ , то наличие  $C_s$  в высоких концентрациях снижает квазистационарную концентрацию  $I_{\text{Si}}$ , подавляя тем самым генерацию ТД. Авторы [4–7] считают, что подавление генерации ТД в кристаллах  $\text{Si(O, C)}$  обусловлено конкурирующим процессом взаимодействия атомов кислорода и углерода (уходом части атомов О на образование комплексов  $\text{CO}_n$ ). В работах [2, 12] не исключается также, что углерод замещения вследствие малости его ковалентного радиуса ( $r_c$ ) по сравнению с  $r_{\text{Si}}$  ( $r_c = 0.77 \text{ \AA}$ ,  $r_{\text{Si}} = 1.17 \text{ \AA}$ ) компенсирует решеточные напряжения, создаваемые межузельным кислородом, и тем самым снижает движущую силу формирования ТД. Очевидно, что при реализации того или иного механизма кинетика накопления ТД будет существенно различаться. В первых двух случаях наличие  $C_s$  должно приводить к снижению концентрации подвижных частиц, последовательно формирующих серию двухзарядных ТД. В третьем случае можно ожидать изменения констант скоростей образования (диссоциации) ТД. С целью экспериментальной проверки вышеизложенных модельных представлений о механизмах влияния углерода на образование термодоноров в настоящей работе были проведены детальные исследования особенностей начальной кинетики генерации ТД в кристаллах  $\text{Si(O, C)}$ .

Исследовались две группы кристаллов *n*-Si ( $N_p = (6 \div 7) \cdot 10^{13} \text{ см}^{-3}$ ), полученных методом Чохральского, с примерно одинаковым содержанием кислорода [ $N_O = (8.0 \div 8.2) \cdot 10^{17} \text{ см}^{-3}$ ]. Содержание углерода в образцах первой группы составляло  $2.5 \cdot 10^{17} \text{ см}^{-3}$ , в образцах второй группы (контрольных) не превышало  $1 \cdot 10^{16} \text{ см}^{-3}$ . Концентрации углерода и кислорода определялись по интенсивности соответствующих полос ИК поглощения с использованием градуировочных коэффициентов  $3.14 \cdot 10^{17} \text{ см}^{-2}$  [13] и  $1.1 \cdot 10^{17} \text{ см}^{-2}$  для O и C соответственно. Предварительные термообработки при  $T = 650^\circ\text{C}$  в течение 30 мин и термообработки при  $T = 375^\circ\text{C}$  длительностью до 300 ч проводились на воздухе. Концентрации термодоноров определялись из температурных ( $77 \div 400 \text{ K}$ ) зависимостей концентрации носителей заряда. Поскольку ТД, образующиеся на начальных этапах термообработки, являются бистабильными и обуславливают высокую фоточувствительность материала, то для определения их концентрации температурные зависимости концентрации носителей заряда измерялись как в условиях слабой внешней подсветки, так и при полной светоизоляции исследуемых образцов [14].

## Результаты эксперимента и их обсуждение

Анализ температурных зависимостей концентрации носителей заряда для исходных кристаллов показал, что и в кристаллах Si⟨O⟩, и в кристаллах Si⟨O, C⟩ содержались «ростовые» ТД, т. е. ТД, образовавшиеся в процессе охлаждения выращиваемых слитков. Их содержание определялось по концентрации второго донорного уровня ТД  $E (+/++) \approx E_c - 0.15 \text{ эВ}$  и составляло  $1 \cdot 10^{13} \text{ см}^{-3}$  и  $5 \cdot 10^{12} \text{ см}^{-3}$  для кристаллов Si⟨O⟩ и Si⟨O, C⟩ соответственно. В связи с этим для стандартизации начальных условий эксперимента все исследуемые образцы были подвергнуты 30-минутной предварительной термообработке при  $650^\circ\text{C}$ , которая, как известно, приводит к отжигу как «ростовых» ТД, так и «ростовых» центров зарождения ТД [15, 16].

На рис. 1, *a* показано изменение суммарной концентрации ТД в кристаллах Si⟨O⟩ и Si⟨O, C⟩ в процессе последующей термообработки при  $T = 375^\circ\text{C}$ . На рис. 1, *b* показаны зависимости скорости введения ТД от времени термообработки для этих же кристаллов (скорость введения ТД определялась путем обычного численного дифференцирования). На рис. 1, *c* приведена также зависимость концентрации бистабильных ТД-2 ( $\beta$ -центров [14, 17])<sup>1</sup> от времени термообработки.

Из приведенных данных видно, что характер изменения в процессе термообработки величин  $dN_{TD}/dt$  и  $N_2$  в кристаллах Si⟨O⟩ и Si⟨O, C⟩ одинаков; наблюдается их монотонное увеличение с последующим выходом на максимальные (стационарные) значения. Однако сами величины  $(dN_{TD}/dt)^{st}$  и  $N_2^{st}$  в кристаллах Si⟨O, C⟩ существенно снижены по сравнению с Si⟨O⟩, причем заметно снижены и характеристические времена достижения этих значений.

Ранее нами было показано [15], что на начальных стадиях формирования ТД, т. е. когда суммарная концентрация ТД не превышает 10% от ее максимальной величины, в кристаллах Si⟨O⟩ с  $N_O > 8 \cdot 10^{17} \text{ см}^{-3}$  при  $T > 430^\circ\text{C}$  вероятности диссоциации термодоноров или их трансформации в электрически неактивные комплексы незначительны. Поскольку формирование всего семейства ТД-*n* ( $n > 12$  [12, 15]) происходит путем последовательного присоединения подвижных

<sup>1</sup> Концентрации бистабильных ТД-1 ( $\alpha$ -центров) в кристаллах Si⟨O, C⟩ были  $< 3 \cdot 10^{11} \text{ см}^{-3}$  и контролировать с достаточной степенью точности кинетику их накопления не представлялось возможным. Определение концентрации бистабильных ТД-3 ( $\gamma$ -центров) в исследуемых кристаллах было также затруднено вследствие необходимости очень длительных темновых выдержек для достижения равновесного заполнения уровней этих дефектов [14, 17].

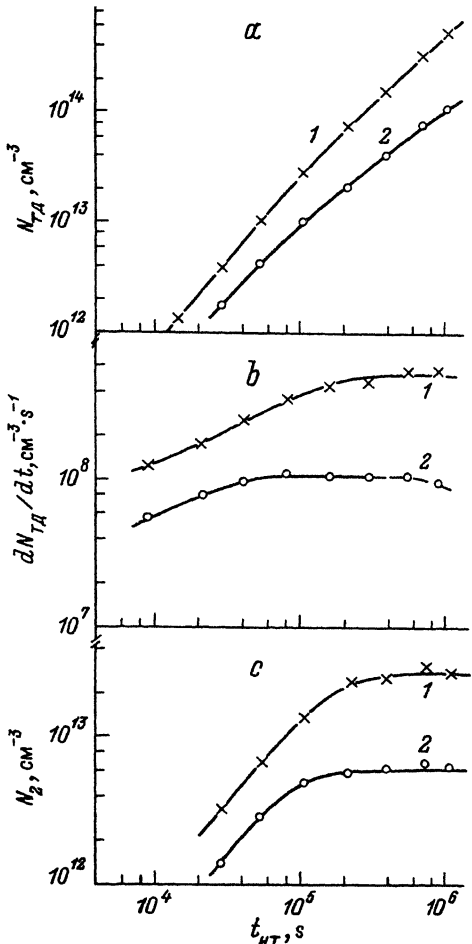


Рис. 1. Зависимости суммарной концентрации термодоноров (а), скорости их генерации (б) и концентрации ТД-2 (с) от времени термообработки при  $T = 375^{\circ}\text{C}$  для кристаллов  $\text{Si}(\text{O})$  (1) и  $\text{Si}(\text{O}, \text{C})$  (2).

частиц одной и той же природы, то при выполнении вышеуказанных условий суммарная скорость генерации ТД последующих типов прямо пропорциональна концентрации ТД предыдущего типа, т. е.

$$\sum_{m > n+1} \frac{dN_m}{dt} = k_n N_{mp} N_n, \quad (1)$$

а суммарная скорость генерации ТД всех типов определяется скоростью трансформации центров зарождения в ТД-1, т. е.

$$\frac{dN_{TD}}{dt} = k_{nc} N_{mp} N_{nc}. \quad (2)$$

В выражениях (1), (2)  $N_{mp}$  и  $N_{nc}$  — концентрации подвижных частиц и центров зарождения ТД,  $N_n$  и  $N_m$  — концентрации ТД- $n$  и ТД- $m$ ,  $k_{nc}$  и  $k_n$  — константы скоростей трансформации центров зарождения в ТД-1 и ТД- $n$  в ТД-( $n+1$ ).

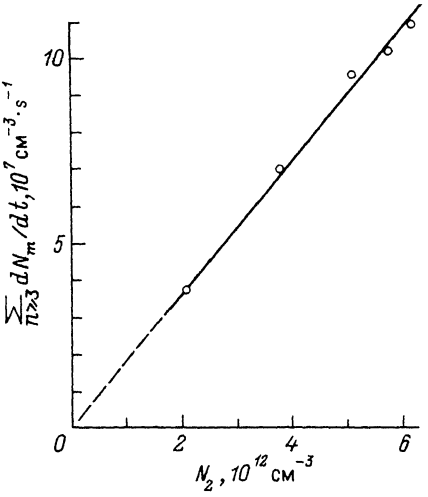


Рис. 2. Зависимость суммарной скорости генерации ТД-*m* (*m* > 3) от концентрации ТД-2 в кристаллах Si(O, C).

Определенные на основе уравнения (1) значения величин  $k_2 N_{mp}$  в кристаллах Si(O) и Si(O, C) для различных времен термообработки приведены на рис. 3. Наблюдающееся совпадение величин  $k_2 N_{mp}$  для обоих типов кристаллов позволяет сделать важный вывод о том, что наличие углерода не оказывает существенного влияния как на константы скоростей прямых реакций, так и на концентрацию подвижных частиц. Следовательно, механизмы подавления генерации ТД в кристаллах Si(O, C), предложенные в [4-7, 9-11], в действительности не реализуются.

Изложенные выше результаты свидетельствуют также о том, что вероятности обратных реакций для ТД первых типов в исследуемых кристаллах Si(O, C) как и в кристаллах Si(O) при  $T = 375^\circ\text{C}$  незначительны. Следовательно, согласно уравнению (2), снижение эффективности генерации ТД в углеродсодержащих кристаллах связано в первую очередь с изменением концентрации центров зарождения. Согласно [15, 16], центры зарождения образуются в той же области температур, что и термодоноры, и включают в свой состав по крайней мере три атома кислорода. Кинетика накопления центров зарождения в случае отсутствия диссоциации ТД описывается следующим дифференциальным уравнением:

$$\frac{dN_{nc}}{dt} = G - (k_{nc} N_{mp} + k_d + k_{tr}) N_{nc}, \quad (3)$$

где  $G$  — скорость генерации центров зарождения,  $k_d$  и  $k_{tr}$  — константы скоростей диссоциации и трансформации центров зарождения в другие (отличные от ТД) центры.

Интегрирование уравнения (3) приводит к следующему выражению для  $N_{nc}$ :

$$N_{nc} = N_{nc}^{st} \left[ 1 - \left( 1 - \frac{N_{nc}^0}{N_{nc}^{st}} \right) \exp \left( - \frac{t}{\tau_{nc}} \right) \right], \quad (4)$$

<sup>2</sup> Значения  $\sum N_m$  определялись путем вычитания  $N_2$  из суммарной концентрации ТД.  $m > 3$

Проведенный нами ранее анализ кинетики накопления ТД в кристаллах Si(O) с различной термической предисторией и различным содержанием кислорода на основе уравнений (1) и (2) позволил получить ряд новых данных о поведении центров зарождения и подвижных частиц, а также о константах скоростей прямых реакций для первых типов ТД [15, 16]. С целью выяснения применимости уравнения (1) для описания кинетики накопления ТД в исследуемых кристаллах Si(O, C) нами была построена зависимость величины  $\sum dN_m / dt$  от кон-

центрации ТД-2 (рис. 2).<sup>2</sup> Как видно из рис. 2, эта зависимость является линейной, т. е. суммарная скорость генерации ТД-*m* (*m* > 3) прямо пропорциональна концентрации ТД-2. Этот результат однозначно свидетельствует о применимости уравнения (1) для исследуемых кристаллов Si(O, C).

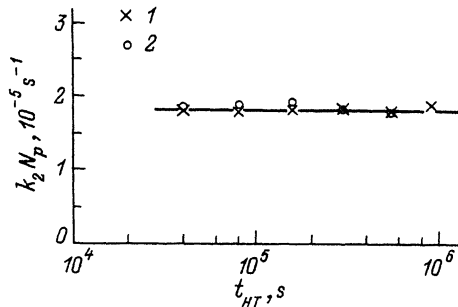


Рис. 3. Зависимости величины  $k_2 N_p$  от времени термообработки при  $T = 375$  °С для кристаллов Si⟨O⟩ (1) и Si⟨O, C⟩ (2).

где  $N_{nc}^{st} = G\tau_{nc}$ ,  $N_{nc}^0$  — исходная (до термообработки) концентрация центров зарождения,  $\tau_{nc} = (k_{nc}N_{mp} + k_d + k_{tr})^{-1}$  — характеристическое время достижения  $N_{nc}^{st}$ .

При подстановке уравнения (4) в уравнение (2) получаем выражение для суммарной скорости генерации ТД в виде

$$\frac{dN_{TD}}{dt} = \left( \frac{dN_{TD}}{dt} \right)^{st} \left[ 1 - \left( 1 - \frac{N_{nc}^0}{N_{nc}^{st}} \right) \exp \left( -\frac{t}{\tau_{nc}} \right) \right], \quad (5)$$

где  $(dN_{TD}/dt)^{st} = k_{nc}N_{mp}N_{nc}^{st}$ .

Проведенный анализ показал, что уравнение (5) хорошо описывает экспериментальные зависимости  $dN_{TD}/dt$  от  $t_{HT}$  как в кристаллах Si⟨O⟩, так и Si⟨O, C⟩. Сплошные линии на рис. 1, а являются расчетными, значения соответствующих подгоночных параметров приведены в таблице. Заслуживает внимания тот факт, что с этими же значениями параметров  $\tau_{nc}$  и  $N_{nc}^0/N_{nc}^{st}$  хорошо описываются и зависимости  $N_2$  от  $t_{HT}$  (сплошные линии на рис. 1, с). Учитывая, что  $\tau_1 \ll \tau_{nc}$ <sup>[15]</sup><sup>[32]</sup> и  $N_2^0 \ll N_{nc}^{st}$ , зависимости  $N_2(t)$  аппроксимировались выражением [18]:

$$N_2 = N_2^{st} \left[ 1 + \frac{\tau_2}{\tau_{nc} - \tau_2} \left( 1 - \frac{\tau_{nc}}{\tau_2} \frac{N_{nc}^0}{N_{nc}^{st}} \right) \exp \left( -\frac{t}{\tau_2} \right) - \frac{\tau_{nc}}{\tau_{nc} - \tau_2} \left( 1 - \frac{N_{nc}^0}{N_{nc}^{st}} \right) \exp \left( -\frac{t}{\tau_{nc}} \right) \right], \quad (6)$$

где  $\tau_2 = (k_2 N_{mp})^{-1}$ . Этот результат является дополнительным подтверждением корректности полученных значений  $\tau_{nc}$ .

Как следует из данных, приведенных в таблице, характеристическое время достижения  $(dN_{TD}/dt)^{st}$ , т. е.  $\tau_{nc}$ , в кристаллах Si, ⟨O, C⟩ примерно в 5 раз ниже, чем в безуглеродном кремнии, что фактически соответствует уменьшению величин  $(dN_{TD}/dt)^{st}$  и, согласно уравнениям (2) — (5),  $N_{nc}^{st} = G\tau_{nc}$ . Такое совпадение изменения величин  $N_{nc}^{st}$  и  $\tau_{nc}$  свидетельствует о том, что снижение эффективности образования центров зарождения и ТД в кристаллах Si⟨O, C⟩ связано в первую очередь с уменьшением  $\tau_{nc}$ , а не с изменением скорости генерации центров зарождения  $G$ . Поскольку, как показано выше, наличие углерода не оказывает существенного влияния на концентрацию подвижных частиц и на константы скоростей прямых реакций, то можно заключить, что уменьшение  $\tau_{nc} = (k_{nc}N_{mp} +$

<sup>3</sup> Другими словами, зависимость концентрации ТД-1 от времени термообработки практически совпадает с зависимостью  $N_{nc}(t)$ .

Материал	$(dN_{TD}/dt)^{st}$ , $\text{см}^{-3}/\text{с}^{-1}$	$N_{nc}^0 / N_{nc}^{st}$	$\tau_{nc}$ , с	$N_2^{st}$ , $\text{см}^{-3}$	$\tau_2 = (k_2 N_{mp})^{-1}$ , с
Si (O)	$5.2 \cdot 10^8$	0.15	$9.0 \cdot 10^4$	$2.7 \cdot 10^{13}$	$5.5 \cdot 10^4$
Si (O, C)	$1.07 \cdot 10^8$	0.18	$2.0 \cdot 10^4$	$6.0 \cdot 10^{12}$	$5.5 \cdot 10^4$

$+ k_d + k_{tr})^{-1}$  обусловлено возрастанием констант скоростей диссоциации  $k_d$  и (или) трансформации  $k_{tr}$  центров зарождения в другие электрически неактивные комплексы.

Проведенные нами предварительные исследования кинетики накопления ТД в кристаллах Si(O, C) при более высоких температурах термообработки показывают, что наличие углерода приводит также к возрастанию констант скоростей диссоциации ТД и их трансформации в электрически неактивные комплексы, что наглядно проявляется в уменьшении характеристического времени достижения  $N_{TD}^{\max}$  (см. также [6]). Эти результаты хорошо согласуются с данными [8]. Авторы [8] исследовали быстрый термический («ламповый») отжиг ТД в кристаллах Si с различным содержанием углерода и обнаружили существенное снижение температуры исчезновения ТД с ростом содержания углерода. Этот факт также свидетельствует об увеличении в кристаллах Si(O, C) констант скоростей диссоциации ТД и (или) их трансформации в электрически неактивные комплексы.

Возрастание величин  $k_d$  и  $k_{tr}$  для центров зарождения и ТД в кристаллах Si(O, C) С естественно связывать с влиянием полей внутренних упругих напряжений, создаваемых  $C_s$ , на величину потенциальных барьеров, лимитирующих скорости обратных реакций. Как известно [19, 20], наличие таких полей, возникающих вследствие различия ковалентных радиусов изовалентной примеси и атомов матрицы, может оказывать существенное влияние как на энергетические характеристики дефектов, так и на процессы их образования и отжига.

В заключение отметим, что легирование кремния другой изовалентной примесью — германием также приводит к подавлению генерации термодоноров. Однако в этом случае, как показано в [21], снижение эффективности генерации ТД при начальных временах термообработки обусловлено уменьшением констант скоростей прямых реакций вследствие увеличения барьеров комплексообразования. Различное влияние германия и углерода на константы скоростей прямых и обратных реакций связано, по-видимому, с различным типом деформаций (растяжение, сжатие), создаваемых атомами Ge и C в решетке Si ( $r_{Ge} > r_{Si}$ ,  $r_C < r_{Si}$ ).

#### СПИСОК ЛИТЕРАТУРЫ

- [1] A. R. Bean, R. C. Newman. J. Phys. Chem. Sol., 33, 255 (1972).
- [2] D. Helmreich, E. Sirtl. Semiconductor Silicon 1977 (ed. by H. R. Huff, E. Sirtl). Princeton, 626 (1977).
- [3] J. Lerouelle. Phys. St. Sol., A67, 177 (1981).
- [4] Ю. М. Бабицкий, П. М. Гринштейн, М. А. Ильин, М. Г. Мильвидский, Е. В. Орлова, Н. С. Рытова. Изв. АН СССР. Неорган. материалы, 21, 744 (1985).
- [5] Ю. М. Бабицкий, Н. И. Горбачева, П. М. Гринштейн, М. А. Ильин, В. П. Кузнецов, М. Г. Мильвидский, Б. М. Туровский. ФТП, 22, 307 (1988).
- [6] P. Gaworzecki, E. Hild. Phys. St. Sol., A92, 129 (1985).
- [7] P. Gaworzecki, E. Hild. Phys. St. Sol., A94, K33 (1986).
- [8] S. Hahn, M. Arst, K. N. Ritz, S. Shatas, H. J. Stein, Z. U. Rek, W. A. Tiller. J. Appl. Phys., 64, 849 (1988).
- [9] R. C. Newman. J. Phys. C, 18, L967 (1985).
- [10] D. Mathiot. Appl. Phys. Lett., 51, 904 (1987).
- [11] W. Wijarankula. J. Appl. Phys., 67, 7624 (1990).

- [12] P. Wagner, J. Hage. *Appl. Phys.*, A49, 123 (1989).
- [13] A. Baghdadi, W. M. Bullis, M. C. Croarkin, Li Yue-zhen, R. I. Seace, R. W. Series, P. Stallhofer, M. Watanabe. *J. Electrochem. Soc.*, 136, 2015 (1989).
- [14] Л. Ф. Макаренко, В. П. Маркевич, Л. И. Мурин. *ФТП*, 19, 1935 (1985).
- [15] L. I. Murin, V. P. Markevich. *Defect Control in Semiconductors* (ed. by K. Sumino). Amsterdam, 199 (1990).
- [16] В. П. Маркевич, Л. И. Мурин. *ФТП*, 25, 262 (1991).
- [17] L. I. Murin, L. F. Makarenko, V. P. Markevich. *Defects in Crystals* (ed. by E. Mizera), 262 (1988).
- [18] Y. Kamiura, F. Hashimoto, K. Endo. *J. Appl. Phys.*, 67, 2478 (1987).
- [19] L. I. Khirunenko, V. E. Kustov, V. I. Shakhovtsov. *Defect Control in Semiconductors* (ed. by K. Sumino), 383 (1990).
- [20] G. Davies, T. K. Kwok, T. Reade. *Defects in Semiconductros 16 Mater. Sci. Forum.* 83-87, 315 (1991).
- [21] Д. И. Бринкевич, В. П. Маркевич, Л. И. Мурин, В. В. Петров. *ФТП*, 26, 682 (1992).

Редактор В. В. Чалдышев

---